

УДК 621.384.8

Д.В. Кирюшин

АСИМПТОТИКА ДВИЖЕНИЯ ИОНОВ В ЛИНЕЙНЫХ ВЧ ПОЛЯХ С КВАДРАТИЧНЫМ РАСПРЕДЕЛЕНИЕМ ПОТЕНЦИАЛА ПРИ НАЛИЧИИ БУФЕРНОГО ГАЗА

С использованием представлений теории зон захвата разработана аналитическая теория для оценки влияния столкновений ионов и молекул на амплитуду движения ионов. Получены выражения для предельных значений координат заряженных частиц. Аналитические расчеты подтверждаются результатами компьютерного моделирования.

Введение. Для улучшения рабочих характеристик масс-спектрометров типа ионной ловушки в настоящее время применяется буферный газ, в качестве которого используют в основном гелий [1]. В подобных приборах и устройствах транспортировки ионов на основе фильтра масс буферный газ позволяет снизить энергию и размер ионного облака. При этом возникает задача оценки влияния буферного газа на движение заряженных частиц в двухмерных или трёхмерных ВЧ полях с квадратичным распределением потенциала. Целью данной работы являются получение аналитических оценок предельных параметров траекторий движения ионов в линейных ВЧ полях с буферным газом и оценка их достоверности путем сравнения с результатами компьютерного моделирования.

Физико-математические основы модели. Движение ионов в переменном поле с квадратичным распределением потенциала при питании анализатора импульсным напряжением прямоугольной формы описывается уравнением Хилла [2]. Для координаты z уравнение имеет вид

$$\frac{d^2 z}{dt^2} + 2[a - q\Psi(t)]z = 0, \quad (1)$$

где a и q - параметры Матье, $\Psi(t)$ - дважды дифференцируемая функция с периодом T . Координаты в этих уравнениях нормированы на характерный размер датчика r_0 , а время - на период ВЧ поля T . Решение уравнения (1) имеет вид [2]

$$z(t) = A \exp(\alpha t) \sum_{r=-\infty}^{\infty} C_{2r} \exp(i(2r + \beta)t) + B \exp(-\alpha t) \sum_{r=-\infty}^{\infty} C_{2r} \exp(-i(2r + \beta)t), \quad (2)$$

где A и B - постоянные, определяемые начальными координатой и скоростью частицы, α и β - коэффициенты, зависящие от положения рабочей точки на диаграмме стабильности, C_{2r} - постоянные коэффициенты разложения в ряд, подобный ряду Фурье. Аналогичные решения могут быть записаны для других координат. В соответствии с уравнением (2) движение частиц в отсутствие столкновений полностью определяется значениями координат и скоростей в любой заданный момент времени. Амплитуды колебаний ионов Z_m в этом случае рассчитываются с помощью эллипсов захвата [3]:

$$(x \cos \theta + v \sin \theta)^2 / A^2 + (x \sin \theta - v \cos \theta)^2 / B^2 = Z_m^2, \quad (3)$$

где x и v - координата и скорость иона в рассматриваемый момент времени, A и B - полуоси эллипса захвата в фазовом пространстве, θ - угол наклона полуоси A к оси координат, Z_m - амплитуда движения иона.

Решение уравнения (3) относительно x имеет вид

$$x_{1,2} = Z_m^2 \left(-\frac{v}{v_m} \right) \sin 2\theta (B^2 - A^2) \pm \pm 2AB \sqrt{1 - \left(\frac{v}{v_m} \right)^2} / (2v_m), \quad (4)$$

где

$$v_m = \sqrt{Z_m^2 (B^2 \cos^2 \theta + A^2 \sin^2 \theta)}. \quad (5)$$

При столкновении ионов с нейтральными молекулами происходит скачкообразное изменение их скоростей, координаты ионов при этом остаются неизменными. Из (3) находим модуль приращения квадрата амплитуд колебаний движения ионов

$$\Delta = (v' - v) x \sin 2\theta (1/A^2 - 1/B^2) + (v'^2 - v^2) (\sin^2 \theta / A^2 + \cos^2 \theta / B^2), \quad (6)$$

где $\Delta = Z_m'^2 - Z_m^2$ - параметр, характеризующий изменение амплитуды колебаний ионов в результате столкновения, v' и Z_m' - скорость и амплитуда движения иона после столкновения.

Для определения величины v' рассмотрим процесс столкновения заряженной частицы с массой m и проекцией скорости v на ось x с нейтральной молекулой массой $m_0 = \delta m$ и проекцией скорости на ту же ось v_0 . Если $v \approx v_x$ ($v_x \gg v_y, v_z$), то скорость заряженной частицы после столкновения определяется выражением:

$$v' = \frac{\delta \cos \beta + 1}{\delta + 1} v + \frac{\delta}{\delta + 1} v_0 (1 - \cos \beta), \quad (7)$$

где β - угол рассеяния в системе центра масс. Для определения изменений амплитуд движения всех ионов, испытавших столкновение в данную фазу ВЧ поля, необходимо выражение (6) усреднить по всем параметрам ионов, имевшим до столкновения одинаковую амплитуду колебаний Z_m . Это усреднение выполним интегрированием соотношения (6) по площади, заключенной между двумя эллипсами захвата с параметрами Z_m и $Z_m + dZ_m$, и нахождением предела при $dZ_m \rightarrow 0$ (рисунок 1).

$$\langle \Delta \rangle = \left(\int_{S_1} (\Delta Z_m^2) dS - \int_{S_2} (\Delta Z_m^2) dS \right) / (S_1 - S_2), \quad (8)$$

где S_1 и S_2 - площади эллипсов захвата, соответствующих амплитуде Z_m и $Z_m - dZ_m$.

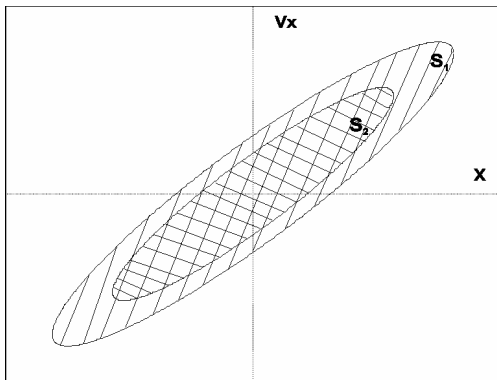


Рисунок 1 – Эллипсы захвата ионов на фазовой плоскости для некоторой фазы ВЧ поля.

S_1 – соответствующие амплитуде $Z_m + dZ_m$,

S_2 - амплитуде Z_m

Далее задача сводится к вычислению интеграла вида

$$\int_S (\Delta) dS = \int_{-v_m}^{v_m} \left(\int_{x_1}^{x_2} (\Delta Z_m^2) dx \right) dv. \quad (9)$$

После интегрирования по dx получим

$$\int_{x_1}^{x_2} (\Delta) dx = -Z_m^4 (v' - v) \sin^2 2\theta \frac{(A^2 - B^2)^2 v}{AB v_m^3} \sqrt{1 - \left(\frac{v}{v_m}\right)^2} + AB \sqrt{1 - \left(\frac{v}{v_m}\right)^2} 2 Z_m^2 (v'^2 - v^2) (\sin^2 \theta / A^2 + \cos^2 \theta / B^2) / v_m. \quad (10)$$

Используя уравнение (7), находим:

$$v'^2 - v^2 = \frac{\delta}{(\delta + 1)^2} (v - v_0) \{v(-2 - \delta \cos \beta + 2 \cos \beta + \delta \cos^2 \beta) - \delta v_0 (1 - \cos \beta)^2\}. \quad (11)$$

Следующим шагом является усреднение по углам рассеяния β . Рассеяние в системе центра масс является изотропным, поэтому слагаемые в (11), содержащие $\cos \beta$, обратятся в ноль, в то время как $\langle \cos^2 \beta \rangle = 0.5$. Тогда получим:

$$v' - v = -(v - v_0) \frac{\delta}{\delta + 1} \quad (12)$$

$$v'^2 - v^2 = \frac{\delta}{(\delta + 1)^2} (v - v_0) (-v(2 + 0.5\delta) - 1.5\delta v_0). \quad (13)$$

При этом интегрирование выражения (9) дает результат

$$\int_{-v_m}^{v_m} \left(\int_{x_1}^{x_2} (\Delta) dx \right) dv = Z_m^4 F_1(A, B, \theta, \delta) - Z_m^2 F_2(A, B, \theta, \delta), \quad (14)$$

где $F_2(A, B, \theta, \delta) = \pi \frac{1.5\delta^2 v_0^2}{(1+\delta)^2} AB \left(\frac{\sin^2 \theta}{A^2} + \frac{\cos^2 \theta}{B^2} \right)$;

$$F_1(A, B, \theta, \delta) = \frac{\pi}{8} \frac{\delta}{(1+\delta)^2} \{ -4AB + \delta [1.25 \sin^2 2\theta \left(\frac{A^2 - B^2}{AB} \right)^2 + AB] \}.$$

Так как F_1 и F_2 не зависят от Z_m и $S = \pi AB Z_m^2$, выражение (8) примет вид:

$$\langle \Delta \rangle = \frac{(Z_m^2 + (Z_m - dZ_m)^2) F_1 - F_2}{\pi AB}. \quad (15)$$

При $dZ_m \rightarrow 0$ получим окончательную формулу для расчета приращений квадрата амплитуды движения ионов при столкновении с молекулами нейтрального газа:

$$\langle \Delta \rangle = Z_m^2 \frac{\delta}{(1+\delta)^2} \left[-1 + \delta \left(0.3125 \sin^2 2\theta \left(\frac{A^2 - B^2}{AB} \right)^2 + \frac{1}{4} \right) \right] - \frac{1.5\delta^2 v_0^2}{(1+\delta)^2} \left(\frac{\sin^2 \theta}{A^2} + \frac{\cos^2 \theta}{B^2} \right). \quad (16)$$

Формула (16) справедлива для столкновения ионов с нейтральными частицами любой массы. Для случая легких масс $\delta \ll 1$ и выражение (16) можно разложить в ряд по степеням δ . Если учесть слагаемые с δ не выше второй степени, получим для приращения квадрата амплитуды:

$$\langle \Delta \rangle = Z_m^2 \left[-\delta + \delta^2 \left(2.25 + 0.3125 \sin^2 2\theta \left(\frac{A^2}{B^2} + \frac{B^2}{A^2} - 2 \right) \right) \right] - 1.5 \delta^2 v_0^2 \left(\frac{\sin^2 \theta}{A^2} + \frac{\cos^2 \theta}{B^2} \right). \quad (17)$$

Из (17) следует, что даже в глубине диаграммы стабильности средняя амплитуда колебаний ионов не может стать меньше определенного значения. Сжатие ионов на буферном газе прекращается, когда $\langle \Delta \rangle = 0$ и квадрат средней амплитуды ионов достигает предельной величины

$$Z_{m \text{ lim}} = \sqrt{\frac{v_1^2 K_1}{1 - \delta K}}, \quad (18)$$

где $K = 2.25 + 0.3125 \sin^2 2\theta (A^2/B^2 + B^2/A^2 - 2)$; $v_1 = v_i T / (\pi r_0)$ - нормированная тепловая скорость ионов по данной координате; $K_1 = 1.5 (\sin^2 \theta / A^2 + \cos^2 \theta / B^2)$. Воспользовавшись выражениями для v_i и q , получим,

$$Z_{m \text{ lim}} = \sqrt{3 \frac{kT}{eU} \frac{K_1}{1 - \delta K} q}, \quad (19)$$

где U - амплитуда переменной составляющей ВЧ напряжения. Из (19) следует, что предельная амплитуда колебаний ионов зависит от отношения тепловой энергии $\approx kT$ и электростатической энергии ионов eU .

Результаты моделирования. Достоверность аналитических результатов проверялась путем моделирования движения 5000 ионов с различными начальными координатами и скоростями. Расчеты проводились для трех рабочих точек внутри первой зоны стабильности (рисунок 2). При этом определялось среднее значение параметра Z_m и его изменение с течением времени под действием буферного газа.

Результаты моделирования при амплитуде ВЧ напряжения 500 В, $r_0 = 19$ мм, $m = 200$ а.е.м., $T = 300$ К, давлении буферного газа на кривых 1, 2 и 3 соответственно $P = 0.5, 2$ и 10 мм.рт.ст. представлены на рисунках 3, 4 в виде зависимостей амплитуды колебаний от числа периодов ВЧ.

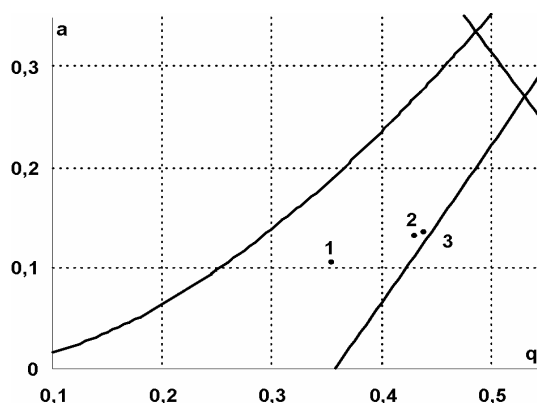


Рисунок 2 – Фрагмент первой зоны стабильности: 1, 2, 3 – рабочие точки ионов ($a = 0.1054, 0.131, 0.1339, q = 0.353, 0.43, 0.4397$).

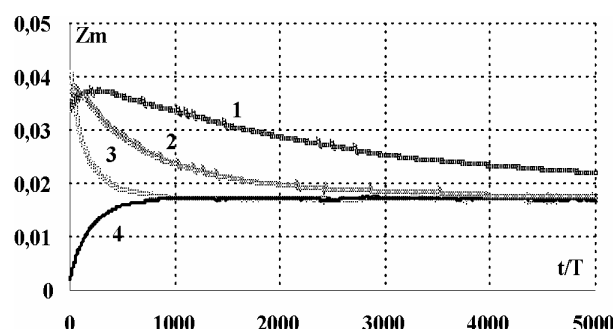


Рисунок 3 – Зависимость средней амплитуды Z_m колебаний ионов от времени: $a = 0.1054, q = 0.353$; 1-3 начальные координаты - $z/r_0 \leq 0.1, P = 0.5, 2, 10$ мм.рт.ст., 4 - $z/r_0 \leq 5 \cdot 10^{-3}, P = 10$ мм.рт.ст.

Из результатов моделирования следует, что при длительном взаимодействии с буферным газом амплитуда колебаний ионов стремится к установившемуся значению, величина которого зависит от положения рабочих точек на диаграмме стабильности (от параметров a и q).

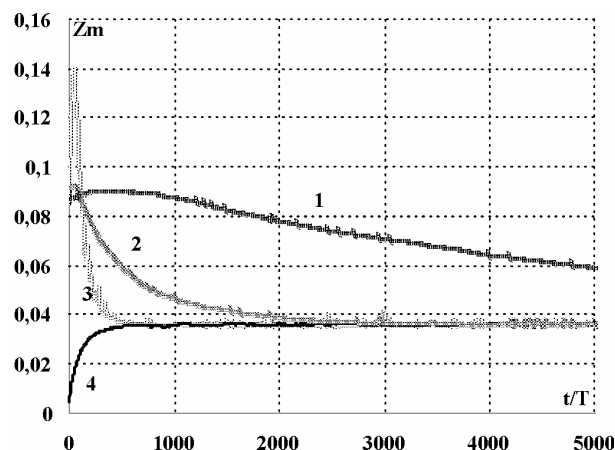


Рисунок 4 – Зависимость средней амплитуды Z_m колебаний ионов от времени. $a = 0.131, q = 0.43$. 1-3 начальные координаты $z/r_0 \leq 0.1, P = 0.5, 2, 10$ мм.рт.ст., 4 - $z/r_0 \leq 5 \cdot 10^{-3}, P = 10$ мм.рт.ст.

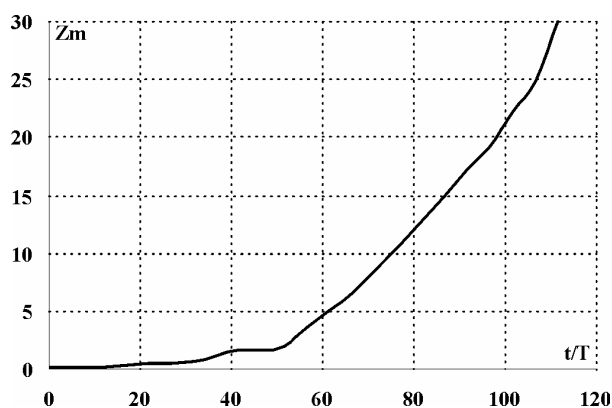


Рисунок 5 – Зависимость средней амплитуды Z_m колебаний ионов от времени с рабочей точкой $a=0.1339$, $q=0.4397$ вблизи границы I области стабильности. $P=10$ мм.рт.ст.

Время достижения установившегося значения амплитуды обратно пропорционально давлению буферного газа и не зависит от начальных координат ионов (кривые 3 и 4 на рисунках 3, 4).

Результаты расчетов установившихся амплитуд колебаний по формуле (19) ($Z_m=0.015$, 0.04) и значения, полученные в результате моделирования ($Z_m=0.017$, 0.038) для трех рабочих точек ионов, хорошо совпадают, что подтверждает достоверность выбранной модели столкновений.

При приближении к границе зоны стабильности эллипсы захвата становятся очень узкими, что приводит к возрастанию коэффициентов K и K_1 и увеличению Z_m в выражениях (18) и (19). В некоторой точке, которую можно назвать критической, выполняется условие $\delta K=1$, что и

приводит к неограниченному возрастанию амплитуды колебаний ионов. Так как δ равно отношению массы молекулы буферного газа к массе иона, то при увеличении массы нейтрала это явление будет проявляться на большем расстоянии от границы зоны стабильности.

Выводы

1. В глубине диаграммы стабильности, при $\delta K \ll 1$, амплитуда предельного сжатия ионов не зависит от соотношения масс ионов и молекул буферного газа, а определяется отношением энергии теплового движения kT и потенциальной энергии иона в электрическом поле eU .

2. Наибольшее сжатие ионного облака происходит в глубине стабильной области диаграммы стабильности при малых значениях параметров K и K_1 .

3. При использовании других газов вместо гелия в качестве буферного необходимо учитывать нарастание процессов, связанных с возможным выбросом ионов из эллипса захвата вследствие увеличения параметра δ .

Библиографический список

1. Lawson G., Todd J.E.J., Bonner R.F. Theoretical and experimental studies with the quadrupole ion storage trap ('QUISTOR') // Dyn. Mass Spectrom., 1975, 4: 39.
2. Мак-Лахлан Н.В. Теория и приложения функций Матье. - М: ИЛ, 1953. - 327 с.
3. Paul W., Reinhard H.P., von Zan U. Das Elektrische Massenfilter als Massenspektrometer und Isotopentrenner // Zeitschrift für Physik, 1958, Bd. 125, s. 143-182.